

Généralisations de l'équation du logarithme

$$\text{Log}(x) - \text{Log}(y) - \text{Log}(x/y) = 0$$

via les surfaces de del Pezzo

Luc PIRIO

[Paris-Saclay - UVSQ & CNRS]

Séminaire de Géométrie Analytique de l'IRMAR

7 Décembre 2023

Plan

I Introduction

Polylogarithmes

Identités fonctionnelles

Théorème : $\mathbf{HLog}^w = 0$ for $w = 1, \dots, 6$

II Preuve

Surfaces de Del Pezzo

Hyperlogarithmes

III Comparaison de $\mathbf{HLog}^2 = \mathcal{A}b$ avec \mathbf{HLog}^3

IV Approche à la Gelfand-MacPherson

Le logarithme

- $\text{Li}_1(z) = -\text{Log}(1-z)$ ($z \in \mathbb{C}$)
- Formule intégrale :
$$\text{Log}(z) = \int^z \frac{du}{u-0}$$
$$\text{Li}_1(z) = -\int^z \frac{du}{u-1}$$
- Développement en série :
$$\text{Li}_1(z) = \sum_{k=1}^{\infty} \frac{z^k}{k}$$
- Monodromie :
$$\mathcal{M}_0(\text{Log}) = \text{Log} + 2i\pi$$
- Identité fonctionnelle :
$$\text{Log}(\textcolor{red}{x}) - \text{Log}(\textcolor{red}{y}) - \text{Log}\left(\frac{\textcolor{red}{x}}{\textcolor{red}{y}}\right) = 0$$

Indoles logarithmorum hac aequatione fundamentali continetur [Pfaff 1788]
[La nature des logarithmes est contenue dans cette éq° fondamentale]

Le dilogarithme Li_2

- $\text{Li}_2(z) = \sum_{k=1}^{\infty} \frac{z^k}{k^2}$ $\left(|z| < 1 \right)$
- **Formule Intégrale :** $\text{Li}_2(z) = \text{L}_{01}(z) = -\int^z \log(1-u) \frac{du}{u-0}$

$$\text{L}_{10}(z) = \int^z \log(u-0) \frac{du}{1-u}$$

- **Monodromie :** $\mathcal{M}_1(\text{Li}_2) = \text{Li}_2 - 2i\pi \text{Log}$
- **Identité fonctionnelle d'Abel (\mathcal{Ab})** $\left(0 < x < y < 1 \right)$

$$\begin{aligned} \text{Li}_2(x) - \text{Li}_2(y) - \text{Li}_2\left(\frac{x}{y}\right) - \text{Li}_2\left(\frac{1-y}{1-x}\right) + \text{Li}_2\left(\frac{x(1-y)}{y(1-x)}\right) = \\ \text{Log}(y) \text{Log}\left(\frac{1-y}{1-x}\right) - \frac{\pi^2}{6} \end{aligned}$$

Le dilogarithme Li_2

- $\text{Li}_2(z) = \sum_{k=1}^{\infty} \frac{z^k}{k^2}$ $\left(|z| < 1 \right)$
- **Formule Intégrale :** $\text{Li}_2(z) = \text{L}_{01}(z) = - \int^z \log(1-u) \frac{du}{u-0}$

$$\text{L}_{10}(z) = \int^z \log(u-0) \frac{du}{1-u}$$

- **Monodromie :** $\mathcal{M}_1(\text{Li}_2) = \text{Li}_2 - 2i\pi \text{Log}$
- **Identité fonctionnelle d'Abel (Ab)** $\left(0 < x < y < 1 \right)$

$$\mathbf{R}(x) - \mathbf{R}(y) - \mathbf{R}\left(\frac{x}{y}\right) - \mathbf{R}\left(\frac{1-y}{1-x}\right) + \mathbf{R}\left(\frac{x(1-y)}{y(1-x)}\right) = 0$$

$$\mathbf{R}(x) = \frac{1}{2} \left(\mathbf{L}_{01}(x) - \mathbf{L}_{10}(x) \right) = \text{Li}_2(x) + \frac{1}{2} \mathbf{Log}(x) \mathbf{Log}(1-x) - \frac{\pi^2}{6}$$

Le n -ième polylogarithme Li_n

- $\text{Li}_n(z) = \sum_{k=1}^{\infty} \frac{z^k}{k^n}$ $\left(|z| < 1 \right)$

- **Formule intégrale :** $\text{Li}_n(z) = \int^z \text{Li}_{n-1}(u) \frac{du}{u}$
 $\text{Li}'_n(z) = \text{Li}_{n-1}(z)/z$

- **Monodromie :** $\mathcal{M}_1(\text{Li}_n) = \text{Li}_n - 2i\pi \frac{(\text{Log})^{n-1}}{(n-1)!}$

- **Identités fonctionnelles en une variable :**

$$\text{Li}_n(z^r) = r^{n-1} \sum_{\omega^r=1} \text{Li}_n(\omega z) \quad \left(|z| < 1 \right)$$

$$\text{Li}_n(z) + (-1)^n \text{Li}_n(z^{-1}) = -\frac{(2i\pi)^n}{n!} \mathbf{B}_n\left(\frac{\text{Log } z}{2i\pi}\right) \quad \left(z \in \mathbb{C} \setminus [0, +\infty[\right)$$

Le n -ième polylogarithme Li_n

- $\text{Li}_n(z) = \sum_{k=1}^{\infty} \frac{z^k}{k^n}$ $\left(|z| < 1 \right)$
- **Formule intégrale :** $\text{Li}_n(z) = \int^z \text{Li}_{n-1}(u) \frac{du}{u}$
 $\text{Li}_n'(z) = \text{Li}_{n-1}(z)/z$
- **Monodromie :** $\mathcal{M}_1(\text{Li}_n) = \text{Li}_n - 2i\pi \frac{(\text{Log})^{n-1}}{(n-1)!}$
- **Identités fonctionnelles en plusieurs variables (?) :**
$$\sum_{i \in I} c_i \text{Li}_n(\textcolor{red}{U}_i) = \text{Elem}_{< n}$$
$$\left(I \text{ fini}, c_i \in \mathbb{Z}, \textcolor{red}{U}_i \in \mathbb{Q}(x_1, \dots, x_N) \right)$$

Le n -ième polylogarithme Li_n

- $\text{Li}_n(z) = \sum_{k=1}^{\infty} \frac{z^k}{k^n}$ $(|z| < 1)$
- **Formule intégrale :** $\text{Li}_n(z) = \int^z \text{Li}_{n-1}(u) \frac{du}{u}$
 $\text{Li}_n'(z) = \text{Li}_{n-1}(z)/z$
- **Monodromie :** $\mathcal{M}_1(\text{Li}_n) = \text{Li}_n - 2i\pi \frac{(\text{Log})^{n-1}}{(n-1)!}$
- **Identités fonctionnelles en plusieurs variables (?) :**
$$\sum_{i \in I} c_i \text{Li}_n(\textcolor{red}{U}_i) = \text{Elem}_{< n} \iff \sum_{i \in I} c_i \mathcal{L}_n(\textcolor{red}{U}_i) = \mathbf{0}$$
$$(I \text{ fini}, c_i \in \mathbb{Z}, \textcolor{red}{U}_i \in \mathbb{Q}(x_1, \dots, x_N))$$

Exemple : Li_3

- $\text{Li}_3(z) = \sum_{k=1}^{\infty} z^k/k^3 = \int^z \text{Li}_2(u) \frac{du}{u}$

- Identité de Spence-Kummer **\mathcal{SK} (1809-1840)** :

$$\begin{aligned} & 2\text{Li}_3(x) + 2\text{Li}_3(y) - \text{Li}_3\left(\frac{x}{y}\right) + 2\text{Li}_3\left(\frac{1-x}{1-y}\right) + 2\text{Li}_3\left(\frac{x(1-y)}{y(1-x)}\right) - \text{Li}_3(xy) \\ & + 2\text{Li}_3\left(-\frac{x(1-y)}{(1-x)}\right) + 2\text{Li}_3\left(-\frac{(1-y)}{y(1-x)}\right) - \text{Li}_3\left(\frac{x(1-y)^2}{y(1-x)^2}\right) \\ & = 2\text{Li}_3(1) - \text{Log}(y)^2 \text{Log}\left(\frac{1-y}{1-x}\right) + \frac{\pi^2}{3} \text{Log}(y) + \frac{1}{3} \text{Log}(y)^3 \end{aligned}$$

Example : Li_3

- $\text{Li}_3(z) = \sum_{k=1}^{\infty} z^k/k^3 = \int^z \text{Li}_2(u) \frac{du}{u}$

- Identité de Spence-Kummer **\mathcal{SK} (1809-1840)** :

$$\begin{aligned} & 2\text{Li}_3(x) + 2\text{Li}_3(y) - \text{Li}_3\left(\frac{x}{y}\right) + 2\text{Li}_3\left(\frac{1-x}{1-y}\right) + 2\text{Li}_3\left(\frac{x(1-y)}{y(1-x)}\right) - \text{Li}_3(xy) \\ & + 2\text{Li}_3\left(-\frac{x(1-y)}{(1-x)}\right) + 2\text{Li}_3\left(-\frac{(1-y)}{y(1-x)}\right) - \text{Li}_3\left(\frac{x(1-y)^2}{y(1-x)^2}\right) \\ & = 2\text{Li}_3(1) - \text{Log}(y)^2 \text{Log}\left(\frac{1-y}{1-x}\right) + \frac{\pi^2}{3} \text{Log}(y) + \frac{1}{3} \text{Log}(y)^3 \end{aligned}$$

$$\begin{aligned} & 2\mathcal{L}_3(x) + 2\mathcal{L}_3(y) - \mathcal{L}_3\left(\frac{x}{y}\right) + 2\mathcal{L}_3\left(\frac{1-x}{1-y}\right) + 2\mathcal{L}_3\left(\frac{x(1-y)}{y(1-x)}\right) - \mathcal{L}_3(xy) \\ & + 2\mathcal{L}_3\left(-\frac{x(1-y)}{(1-x)}\right) + 2\mathcal{L}_3\left(-\frac{(1-y)}{y(1-x)}\right) - \mathcal{L}_3\left(\frac{x(1-y)^2}{y(1-x)^2}\right) = 0 \end{aligned}$$

$$\mathcal{L}_3(z) = \text{Li}_3(z) - \text{Li}_2(z) \text{Log}|z| + \frac{1}{3} \text{Li}_1(z) (\text{Log}|z|)^2$$

Exemple : Li_4

- $\text{Li}_4(x) = \sum_{k=1}^{\infty} x^k/k^4 \quad \mathcal{L}_4(x) = \text{Li}_4(x) + \text{Elem}_{<4}(x)$
- Identité fonctionnelle de Kummer $\mathcal{K}(4)$ (1840) :

$$\begin{aligned} & \mathcal{L}_4\left(-\frac{x^2y\eta}{\zeta}\right) + \mathcal{L}_4\left(-\frac{y^2x\zeta}{\eta}\right) + \mathcal{L}_4\left(\frac{x^2y}{\eta^2\zeta}\right) + \mathcal{L}_4\left(\frac{y^2x}{\zeta^2\eta}\right) \\ & - 6\mathcal{L}_4(xy) - 6\mathcal{L}_4\left(\frac{xy}{\eta\zeta}\right) - 6\mathcal{L}_4\left(-\frac{xy}{\eta}\right) - 6\mathcal{L}_4\left(-\frac{xy}{\zeta}\right) \\ & - 3\mathcal{L}_4(x\eta) - 3\mathcal{L}_4(y\zeta) - 3\mathcal{L}_4\left(\frac{x}{\eta}\right) - 3\mathcal{L}_4\left(\frac{y}{\zeta}\right) \\ & - 3\mathcal{L}_4\left(-\frac{x\eta}{\zeta}\right) - 3\mathcal{L}_4\left(-\frac{y\zeta}{\eta}\right) - 3\mathcal{L}_4\left(-\frac{x}{\eta\zeta}\right) - 3\mathcal{L}_4\left(-\frac{y}{\eta\zeta}\right) \\ & + 6\mathcal{L}_4(x) + 6\mathcal{L}_4(y) + 6\mathcal{L}_4\left(-\frac{x}{\zeta}\right) + 6\mathcal{L}_4\left(-\frac{y}{\eta}\right) = \mathbf{0} \end{aligned}$$

$$(\zeta = 1-x, \eta = 1-y)$$

- Abel 1881 (Spence 1809, Hill 1829, Rogers 1907)

$$R(x) - R(y) - R\left(\frac{x}{y}\right) - R\left(\frac{1-y}{1-x}\right) + R\left(\frac{x(1-y)}{y(1-x)}\right) = 0 \quad (\mathcal{Ab})$$

- Spence-Kummer : $\sum_{i=1}^9 c_i \mathcal{L}_3(U_i(x, y)) = 0 \quad (\mathcal{SK})$

- Kummer 1840 : $\sum_i c_i \mathcal{L}_n(U_i(x, y)) = 0 \quad (n \leq 5) \quad (\mathcal{K}_n)$

- ...

- Goncharov 1995 : $\sum_{i=1}^{22} c_i \mathcal{L}_3(U_i(a, b, c)) = 0 \quad (\mathcal{Gon})$

- Gangl 2003 : $\sum_i c_i \mathcal{L}_n(U_i(x, y)) = 0 \quad (n = 6, 7) \quad (\mathcal{Gan}_n)$

- Charlton, Gangl, Radchenko, Rudenko, Goncharov-Rudenko, ...

- **Identités fonctionnelles (IF) des polylogarithmes Li_n :**
 - ▶ Géométrie hyperbolique
 - ▶ Géométrie des tissus ($n \leq 3$)
 - ▶ K-théorie des corps de nombres ($n \leq 4$)
 - ▶ Théorie des périodes (MZVs)
 - ▶ Physique des particules ('*Scattering amplitudes*')
 - ▶ Physique mathématique ('*Y-systèmes*') ($n = 2$)
 - ▶ Algèbres amassées ($n \leq 4$)
 - ▶ Symétrie miroir ('*Scattering diagrams*') ($n = 2$)
- **Problèmes :**
 - trouver des **IF** pour \mathcal{L}_n (e.g. $\exists n \geq 8 ?$)
 - mieux comprendre les **FIs** polylogarithmiques

- **Identités fonctionnelles (IF) des polylogarithmes Li_n :**
 - ▶ Géométrie hyperbolique
 - ▶ Géométrie des tissus ($n \leq 3$)
 - ▶ K-théorie des corps de nombres ($n \leq 4$)
 - ▶ Théorie des périodes (MZVs)
 - ▶ Physique des particules ('*Scattering amplitudes*')
 - ▶ Physique mathématique ('*Y-systèmes*') ($n = 2$)
 - ▶ Algèbres amassées ($n \leq 4$)
 - ▶ Symétrie miroir ('*Scattering diagrams*') ($n = 2$)
- **Problèmes :**
 - trouver des **IF** pour \mathcal{L}_n (e.g. $\exists n \geq 8 ?$)
 - mieux comprendre les **FIs** polylogarithmiques

K -théorie et identités polylogarithmiques

- \mathbf{F} = corps de nombres $\rightsquigarrow K_n(\mathbf{F}) = \begin{cases} n \text{ pair} & \checkmark \text{ (Borel)} \\ n \text{ impair} & ? \end{cases}$
- [Zagier] $K_3(\mathbf{F}) \longleftrightarrow B_2(\mathbf{F})$ avec

$$B_2(\mathbf{F}) = \frac{\mathbb{Z}\left[\mathbf{F} \setminus \{0,1\}\right]}{\left\langle [\mathbf{x}] - [\mathbf{y}] - \left[\frac{\mathbf{x}}{\mathbf{y}} \right] - \left[\frac{1-\mathbf{y}}{1-\mathbf{x}} \right] + \left[\frac{\mathbf{x}(1-\mathbf{y})}{\mathbf{y}(1-\mathbf{x})} \right], x, y \notin \{0,1\} \right\rangle}$$
$$\left(\mathbf{R}(\mathbf{x}) - \mathbf{R}(\mathbf{y}) - \mathbf{R}\left(\frac{\mathbf{x}}{\mathbf{y}}\right) - \mathbf{R}\left(\frac{1-\mathbf{y}}{1-\mathbf{x}}\right) + \mathbf{R}\left(\frac{\mathbf{x}(1-\mathbf{y})}{\mathbf{y}(1-\mathbf{x})}\right) = 0 \right)$$

- Régulateurs (de Borel) $\mathcal{R}_2^B = \mathcal{L}_2 : K_3(\mathbf{F}) \rightarrow \mathbb{R}$
 $\mathcal{R}_n^B = \mathcal{L}_n : K_{2n-1}(\mathbf{F}) \rightarrow \mathbb{R} \quad (n \geq 2)$
- Comprendre les IF de \mathcal{L}_n \rightarrow
 - Desc° de $K_{2n-1}(\mathbf{F})$ par générateurs et relat°
 - Applications à la “Conjecture de Zagier”

'Scattering amplitudes' et identités fonctionnelles

- 'Scattering amplitudes' $I = \int_{\Delta} \Psi$ (important en HEPP)

$$I = I' + \mathcal{R}$$

$$I = I' + \sum_{i \in I} \mathbf{F}_i(x_i)$$

- [dDDDS] 'The 2-loop hexagon Wilson loop in $\mathcal{N} = 4$ SYM' (2010)

$\mathcal{R}_{6,WL}^{(2)}$ = 'remainder' : formule de 17 pages !

[GSVV] $\mathcal{R}_{6,WL}^{(2)} = \sum_{i=1}^3 \left(L_4(x_i^+, x_i^-) - \frac{1}{2} \mathbf{Li}_4(v_i) \right) - \frac{1}{8} \left(\sum_{i=1}^3 \mathbf{Li}_2(v_i) \right)^2 + \dots$

- Importance de simplifier $\sum_{i \in I} \mathbf{F}_i(x_i)$ pour
 - \mathbf{F}_i = polylogarithmes
 - \mathbf{F}_i = hyperlogarithmes
 - \mathbf{F}_i = polylogs elliptiques
- Justifie l'étude des identités fonctionnelles $\sum_{j \in J} \mathbf{F}_j(x_j) = \text{cst}$

- $\mathbf{Ab}(x, y) = \mathbf{R}(x) - \mathbf{R}(y) - \mathbf{R}\left(\frac{x}{y}\right) - \mathbf{R}\left(\frac{1-y}{1-x}\right) + \mathbf{R}\left(\frac{x(1-y)}{y(1-x)}\right) \equiv 0$

Thm [de Jeu 20] $\forall I$ fini, $c_i \in \mathbb{Q}$ et $U_i \in \mathbb{Q}[x_1, \dots, x_m]$:

$\sum_{i \in I} c_i \mathbf{R}(U_i)$ est une CL de
 $\sum_{i \in I} c_i \mathbf{R}(U_i) \equiv \text{cst}$ \iff spécialisations de $\mathbf{Ab}(X_s, Y_s)$
 avec $X_s, Y_s \in \mathbb{Q}[x_1, \dots, x_m] \quad \forall s$

- $(\mathbf{Log}(x) - \mathbf{Log}(y) - \mathbf{Log}(x/y) = 0)$ est l'IFF du log ✓
- $\mathcal{A}b \iff (\mathbf{Ab}(x, y) \equiv 0)$ est l'IFF du dilog ✓
- $\mathcal{Gon}_{22} \iff \sum_{i=1}^{22} c_i \mathcal{L}_3(U_i) = 0$ est l'IFF du trilog ?
- Q₄ [Goncharov-Rudenko]** est l'IFF du tetralog ?

[Griffiths 2002] *The legacy of Abel in algebraic geometry*

We do not attempt to formulate this question precisely – intuitively, we are asking **whether or not for each n there is an integer $d(n)$ such that there is a “new” $d(n)$ -web of maximum rank one of whose abelian relations is a (the ?) functional equation with $d(n)$ terms for Li_n ?** Here, ‘new’ means the general extension of the phenomena above for the logarithm when $n = 1$, where $d(1) = 3$, for the 5-term identity when $n = 2$ and $d(2) = 5, \dots$

[Goncharov-Rudenko 2018] *'Motivic correlator, cluster algebras ...'*

Conclusion. *If $n > 3$, the problem of writing explicitly functional equations for Li_n might not be the “right” problem.* It seems that when n is growing the functional equations become so complicated that one can not write them down on a piece of paper.

- **Principaux problèmes sur les IF des polylogarithmes :**

- Trouver des **IF** pour \mathcal{L}_n (e.g. $\exists n \geq 8 ?$)
- Existe-t-il une suite $(\mathbf{IF}_n)_{n \geq 1}$ de **IF** pour les polylogarithmes ?
- Existe-t-il une **IF** fondamentale pour \mathcal{L}_n pour chaque $n \geq 1$?
- Mieux comprendre les **IF** polylogarithmiques

- Dans cet exposé, en considérant des **hyperlogarithmes** :

- On décrit une série d'identités hyperlogarithmiques

$$\mathbf{HLog}^1 \iff \left(\mathbf{Log}(x) - \mathbf{Log}(y) - \mathbf{Log}(x/y) = 0 \right)$$

$$\mathbf{HLog}^2 \iff \left(\mathbf{R}(x) - \mathbf{R}(y) - \mathbf{R}\left(\frac{x}{y}\right) - \mathbf{R}\left(\frac{1-y}{1-x}\right) + \mathbf{R}\left(\frac{x(1-y)}{y(1-x)}\right) = 0 \right)$$

⋮

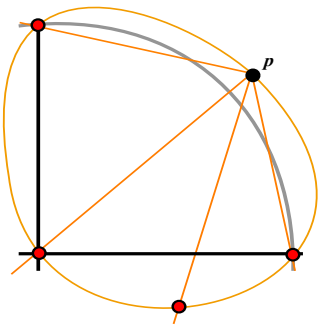
$$\mathbf{HLog}^6 \quad \left(\text{IF hyperlogarithmique de poids 6} \right)$$

- Pour $w = 1, \dots, 6$, on a

$$\mathbf{HLog}^w \quad : \quad \sum_{i=1}^{\kappa} \mathbf{AH}_i^w(\phi_i) = 0$$

Une vue géométrique de l'identité d'Abel

- (Ab) $R(x) - R(y) - R\left(\frac{x}{y}\right) - R\left(\frac{1-y}{1-x}\right) + R\left(\frac{x(1-y)}{y(1-x)}\right) = 0$
 $\parallel \quad \parallel \quad \parallel \quad \parallel \quad \parallel$
 $U_1 \quad U_2 \quad U_3 \quad U_4 \quad U_5$



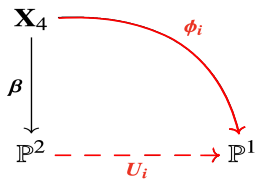
Points base des U_i 's :

- $p_1 = [1, 0, 0]$
- $p_2 = [0, 1, 0]$
- $p_3 = [0, 0, 1]$
- $p_4 = [1, 1, 1]$

↔ Éclatement $\beta : X_4 = \text{Bl}_{p_1, \dots, p_4}(\mathbb{P}^2) \longrightarrow \mathbb{P}^2$

Une vue géométrique de l'identité d'Abel

- $(\mathcal{A}b)$ $\underset{\parallel}{R(x)} - \underset{\parallel}{R(y)} - \underset{\parallel}{R\left(\frac{x}{y}\right)} - \underset{\parallel}{R\left(\frac{1-y}{1-x}\right)} + \underset{\parallel}{R\left(\frac{x(1-y)}{y(1-x)}\right)} = 0$
 $\qquad\qquad\qquad U_1 \qquad\qquad U_2 \qquad\qquad U_3 \qquad\qquad U_4 \qquad\qquad U_5$
- **Éclatement** $\beta : X_4 = \text{Bl}_{p_1, \dots, p_4}(\mathbb{P}^2) \longrightarrow \mathbb{P}^2$



$\phi_1, \dots, \phi_5 : X_4 \longrightarrow \mathbb{P}^1$ sont les cinq fibrations en coniques sur la surface de del Pezzo X_4

- $(\mathcal{A}b) \iff \exists (\epsilon_i)_{i=1}^5 \in \{\pm 1\}^5 \text{ tq. } \sum_{i=1}^5 \epsilon_i R(\phi_i) = 0$
($\exists!$ au signe près)

Généralisation aux surfaces de del Pezzo

- $\textcolor{red}{p_1}, \dots, \textcolor{red}{p_r} \in \mathbb{P}^2$: points en position générale ($r \in \{3, \dots, 8\}$)
- **Blow-up** $\beta_r : X_r = \text{Bl}_{\textcolor{red}{p_1}, \dots, \textcolor{red}{p_r}}(\mathbb{P}^2) \longrightarrow \mathbb{P}^2$ ($X_r = \mathbf{dP}_{9-r}$)

Prop : 1. Il y a un nombre fini κ_r de fibrations en coniques $\phi_1, \dots, \phi_{\kappa_r} : X_r \longrightarrow \mathbb{P}^1$

2. Pour tout i : $\Sigma_i = \text{Spectre}(\phi_i) \subset \mathbb{P}^1$ a $r - 1$ éléments

Def^o : L'hyperlogarithme complet antisymétrique de poids $r - 2$: $AH_{\Sigma_i}^{r-2} : \widetilde{\mathbb{P}^1 \setminus \Sigma_i} \longrightarrow \mathbb{C}$

Thm [Castravet-P] $\exists (\epsilon_i)_{i=1}^{\kappa} \in \{\pm 1\}^{\kappa}$, \pm -unique, tel que

$$\left(\mathsf{HLog}^{r-2} \right) \quad \sum_{i=1}^{\kappa} \epsilon_i AH_{\Sigma_i}^{r-2}(\phi_i) = 0$$

$$\left(\mathbf{HLog}^{r-2} \right) \quad \sum_{i=1}^{\kappa} \epsilon_i \mathbf{AH}_{\Sigma_i}^{r-2}(\phi_i) = 0$$

- Une identité \mathbf{HLog}^{r-2} pour chaque del Pezzo $\mathbf{dP}_d = \mathbf{X}_r$ ($d = 9 - r$)

[$d = 6$] \mathbf{dP}_6 est unique, $\mathbf{AH}_{\Sigma_i}^1 = \mathbf{Log}$ pour tout i

$$\mathbf{HLog}^1 = \left(\mathbf{Log}(\mathbf{x}) - \mathbf{Log}(\mathbf{y}) - \mathbf{Log}(\mathbf{x}/\mathbf{y}) = \mathbf{0} \right)$$

[$d = 5$] \mathbf{dP}_5 est unique : $\mathbf{AH}_{\Sigma_i}^2 = \frac{1}{2}(\mathbf{L}_{01} - \mathbf{L}_{10}) = \mathbf{R}$ pour tout i

$$\mathbf{HLog}^2 = \left(\sum_{i=1}^5 \epsilon_i \mathbf{R}(\phi_i) = \mathbf{0} \right) \quad (\mathcal{Ab})$$

$$\left(\mathbf{HLog}^{r-2} \right) \quad \sum_{i=1}^{\kappa} \epsilon_i \, \mathbf{AH}_{\Sigma_i}^{r-2}(\phi_i) = 0$$

[$d = 4$] \mathbf{dP}_4 ∞^2 moduli $\rightsquigarrow \infty^2$ identités \mathbf{HLog}^3

$$\begin{aligned} & \mathbf{AH}_1^3(x) + \mathbf{AH}_2^3\left(\frac{1}{y}\right) + \mathbf{AH}_3^3\left(\frac{y}{x}\right) + \dots \\ & \dots + \mathbf{AH}_9^3\left(\frac{y(x-b)}{x(y-a)}\right) + \mathbf{AH}_{10}^3\left(\frac{a(b-x)}{by-ax}\right) = 0 \end{aligned}$$

[$d = 3$] \mathbf{dP}_3 = surface cubique dans \mathbb{P}^3 $\rightsquigarrow \infty^4$ identités \mathbf{HLog}^4

$$\sum_{i=1}^{27} \mathbf{AH}_i^4(\phi_i) = 0$$

Thm [Castravet-P. 2022]

$\exists (\epsilon_i)_{i=1}^{\kappa} \in \{ \pm 1 \}^{\kappa}$ unique au signe près tel que

$$\left(\mathbf{HLog}^{r-2} \right) \quad \sum_{i=1}^{\kappa} \epsilon_i \textcolor{red}{AH}_{\Sigma_i}^{r-2}(\phi_i) = 0$$

→ Surfaces de Del Pezzo

→ Hyperlogarithmes (aka “Intégrales itérées sur \mathbb{P}^1 ”)

Surfaces de Del Pezzo I : propriétés

- $\mathbf{dP}_d \subset \mathbb{P}^d$ surface lisse, de degré d ($d = 9 - r$)
- $\mathbf{dP}_d = \mathbf{X}_r = \mathbf{Bl}_{p_1, \dots, p_r}(\mathbb{P}^2)$ $\mathbf{Pic}(\mathbf{dP}_d) = \mathbb{Z} \mathbf{h} \oplus (\bigoplus_{i=1}^r \mathbb{Z} \ell_i)$
- $-K_{\mathbf{dP}_d} = 3\mathbf{h} - \sum_{i=1}^r \ell_i$ ample $\rightsquigarrow \varphi_{|-K|} : \mathbf{dP}_d \hookrightarrow \mathbb{P}^d$ plongement
- $\mathbf{Pic}(\mathbf{dP}_d) \supset K^\perp = \langle \rho_1, \dots, \rho_r \rangle$ $\rho_i = \ell_i - \ell_{i+1}$ $i \leq r-1$
 $\rho_r = 3\mathbf{h} - \sum_{i=1}^3 \ell_i$
- $-(-\cdot, \cdot) + \{\rho_i\}_{i=1}^r \rightsquigarrow$ Système de racines $E_r \subset R_r = K^\perp \otimes \mathbb{R}$
- Pour toute racine ρ : $s_\rho : R_r \longrightarrow R_r$ (reflexion orthog.)
 $d \longmapsto d + (d, \rho)\rho$
- $W_r = W(E_r) = \langle s_{\rho_1}, \dots, s_{\rho_r} \rangle \subset O(R_r)$: gpe de Weyl de type E_r

Surfaces de Del Pezzo I

$$E_4 = A_4$$



$$E_5 = D_5$$

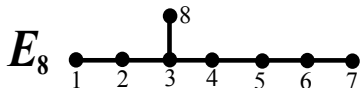
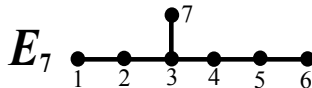
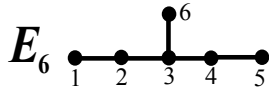
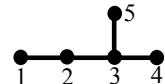


FIGURE – Dynkin diagram E_r (k stands for ρ_k for any $k = 1, \dots, r$)

Droites et coniques sur $X_r = \mathbf{dP}_d$ ($d = 9 - r$)

- Droites $\mathcal{L}_r = \left\{ \ell \in \mathbf{Pic}(X_r) \mid (\ell, -K) = 1, \ell^2 = -1 \right\}$
 \Downarrow
 $\delta \rightsquigarrow |\delta| = \{\delta\} \quad \text{avec} \quad \mathbb{P}^1 \simeq \delta \subset \mathbf{dP}_d \quad \deg(\delta) = 1$

$$\mathcal{L}_r = W_r \cdot \ell_r$$

- Cloniques $\mathcal{K}_r = \left\{ \mathfrak{c} \in \mathbf{Pic}(X_r) \mid (\mathfrak{c}, -K) = 2, \mathfrak{c}^2 = 0 \right\}$
 \Downarrow
 $\mathfrak{c} \longleftrightarrow \text{Fibration en coniques } \phi_{\mathfrak{c}} : X_r \rightarrow \mathbb{P}^1$

$$\mathcal{K}_r = W_r \cdot (\mathfrak{h} - \ell_1)$$

r	3	4	5	6	7	8
E_r	$A_2 \times A_1$	A_4	D_5	E_6	E_7	E_8
$W_r = W(E_r)$	$\mathfrak{S}_3 \times \mathfrak{S}_2$	\mathfrak{S}_5	$(\mathbf{Z}/2\mathbf{Z})^4 \ltimes \mathfrak{S}_5$	$W(E_6)$	$W(E_7)$	$W(E_8)$
$\omega_r = W_r $	12	$5!$	$2^4 \cdot 5!$	$2^7 \cdot 3^4 \cdot 5$	$2^{10} \cdot 3^4 \cdot 5 \cdot 7$	$2^{14} \cdot 3^5 \cdot 5^2 \cdot 7$
$l_r = \mathcal{L}_r $	6	10	16	27	56	240
$\kappa_r = \mathcal{K}_r $	3	5	10	27	126	2160

Exemple : les droites de dP_2 vues sur le plan

- $dP_2 = X_7 = \mathbf{Bl}_{p_1, \dots, p_7}(\mathbb{P}^2) \xrightarrow{\beta} \mathbb{P}^2$
- $\ell_i = \beta^{-1}(p_i) \subset X_7 \rightsquigarrow \ell_i \in \mathbf{Pic}(X_7)$
 $\rightsquigarrow \ell = \sum_{i=1}^7 \ell_i$

Line	Class in $\mathbf{Pic}(X_7)$	Number of such lines	Model in \mathbb{P}^2
ℓ_i	ℓ_i	7	first infinitesimal neighbourhood $p_i^{(1)}$
ℓ_{ij}	$h - \ell_i - \ell_j$	21	line joining p_i to p_j
C_{ij}	$2h - \ell + \ell_i + \ell_j$	21	conic through the p_k 's, $k \notin \{i, j\}$
C_i^3	$3h - \ell - \ell_i$	7	cubic through all the p_l 's with a node at p_i

TABLE 2. Lines on dP_2 and the corresponding ‘curves’ in the projective plane

Exemple : cloniques de dP_2

Conic class \mathfrak{c}	Number of such \mathfrak{c}	Linear system $ \mathfrak{C}_{\mathfrak{c}} $	$\mathfrak{C}_{\mathfrak{c}}^{\text{red}}$
$h - \ell_i$	7	lines through p_i	$\ell_{ij} + \ell_j$
$2h - \sum_{i \in I} \ell_i$	35	conics through the p_i 's, $i \in I$	$\ell_{i_1 i_2} + \ell_{i_3 i_4}$ $\ell_{i_3} + C_{i_1 i_2}$
$3h - \ell + \ell_i - \ell_j$	42	cubics through the p_k 's for $k \neq i$, with a node at p_j	$\ell_{jk} + C_{ik}$ $\ell_i + C_j^3$
$4h - \ell - \sum_{j \in J} \ell_j$	35	quartics through the p_k 's with a node at p_j for $j \in J$	$C_{k_1 k_2} + C_{k_3 k_4}$ $\ell_{j_1 j_2} + C_{j_3}^3$
$5h - 2\ell + \ell_i$	7	quintics through the p_k 's with a node at p_k except for $k = i$	$C_{ij} + C_j^3$

TABLE 3. Conic classes on dP_2 and their reducible fibers

Coniques non irréductibles sur $X_r = \mathbf{dP}_d$

- $L_r = \cup_{\ell \in \mathcal{L}_r} \ell \subset X_r \rightsquigarrow U_r = X_r \setminus L_r$
- $\mathcal{K}_r \ni \mathfrak{c} \rightsquigarrow$ Fibration en coniques $\phi_{\mathfrak{c}} : X_r \rightarrow \mathbb{P}^1$

$$\begin{aligned}\Sigma_{\mathfrak{c}} &= \mathbf{Spectre}(\phi_{\mathfrak{c}}) = \left\{ \sigma \in \mathbb{P}^1 \mid \phi_{\mathfrak{c}}^{-1}(\sigma) \text{ pas irréductible} \right\} \\ &= \left\{ \sigma_{\mathfrak{c}}^1, \dots, \sigma_{\mathfrak{c}}^{r-2}, \sigma_{\mathfrak{c}}^{r-1} = \infty \right\} \subset \mathbb{P}^1\end{aligned}$$

- Pour $\sigma_{\mathfrak{c}}^i \in \Sigma_{\mathfrak{c}}$: $\phi_{\mathfrak{c}}^{-1}(\sigma_{\mathfrak{c}}^i) = L_{\mathfrak{c}}^i + \tilde{L}_{\mathfrak{c}}^i \quad \left(L_{\mathfrak{c}}^i, \tilde{L}_{\mathfrak{c}}^i \in \mathcal{L}_r \right)$
- $\mathcal{H}_{\mathfrak{c}} = \mathbf{H}^0\left(\mathbb{P}^1, \Omega_{\mathbb{P}^1}^1(\operatorname{Log} \Sigma_{\mathfrak{c}})\right) = \left\langle \frac{dz}{z - \sigma_{\mathfrak{c}}^i} \right\rangle_{i=1}^{r-2} \simeq \mathbb{C}^{r-2}$
- $\mathbf{H}_{\mathfrak{c}} = \phi_{\mathfrak{c}}^*\left(\mathcal{H}_{\mathfrak{c}}\right) = \left\langle \frac{d\phi_{\mathfrak{c}}}{\phi_{\mathfrak{c}} - \sigma_{\mathfrak{c}}^i} \right\rangle_{i=1}^{r-2} \subset \mathbf{H}^0\left(X_r, \Omega_{X_r}^1(\operatorname{Log} L_r)\right) = \mathbf{H}_{X_r}$

Tissu de del Pezzo $\mathcal{W}_{\mathbf{dP}_d}$

- $\mathcal{W}_{\mathbf{dP}_d} = \mathcal{W}(\phi_{\mathfrak{c}})_{\mathfrak{c} \in \mathcal{K}_r} :$ κ_r -tissu en coniques sur \mathbf{dP}_d
- Quest^o : $\exists \left(F_{\mathfrak{c}}(\phi_{\mathfrak{c}}) \right)_{\mathfrak{c} \in \mathcal{K}_r}$ tel que $\sum_{\mathfrak{c} \in \mathcal{K}_r} F_{\mathfrak{c}}(\phi_{\mathfrak{c}}) = 0$
avec les $F_{\mathfrak{c}}$ polylogarithmiques ?

Théorème : $\exists (\epsilon_{\mathfrak{c}})_{\mathfrak{c} \in \mathcal{K}_r} \in \{1, -1\}^{\mathcal{K}_r}$ \pm -unique tel que

$$\left(\mathbf{HLog}^{r-2} \right) \quad \sum_{\mathfrak{c} \in \mathcal{K}_r} \epsilon_{\mathfrak{c}} \mathbf{AH}_{\mathfrak{c}}^{r-2}(\phi_{\mathfrak{c}}) = 0$$

où $\forall \mathfrak{c} : \mathbf{AH}_{\mathfrak{c}}^{r-2}$ = hyperlogarithme antisymétrique
complet de poids $r-2$ sur $\mathbb{P}^1 \setminus \Sigma_{\mathfrak{c}}$

Intégrales itérées

- Poincaré (1884), Lappo-Danilevski (1928), Chen (1973)

- \mathbf{Y} variété complexe

- $\mathbf{H} = \langle \omega_1, \dots, \omega_m \rangle \subset \mathbf{H}^0(\mathbf{Y}, \Omega_{\mathbf{Y}}^1) + \left[\begin{array}{l} d\omega_i = 0 \\ \omega_i \wedge \omega_j = 0 \end{array} \right]$

- Ex : $\phi : \mathbf{Y} \rightarrow \mathbf{C}$ and $\omega_i \in \phi^*(\mathbf{H}^0(\mathbf{C}, \Omega_{\mathbf{C}}^1))$ $i = 1, \dots, m$

- Point base $y \in \mathbf{Y}$, chemin $\gamma^x : [0, 1] \rightarrow \mathbf{Y}$ de y à x :

- $\mathbb{I}_{\omega_i} : x \mapsto \int_{\gamma^x} \omega_i \quad \rightsquigarrow \quad \mathbb{I}_{\omega_i} \in \mathcal{O}_y$
- $\mathbb{I}_{\omega_j \omega_i} : x \mapsto \int_{\gamma^x} \omega_j(u) \cdot \mathbb{I}_{\omega_i}(u) \quad \rightsquigarrow \quad \mathbb{I}_{\omega_j \omega_i} \in \mathcal{O}_y$
- $\mathbb{I}_{\omega_k \omega_j \omega_i} : x \mapsto \int_{\gamma^x} \omega_k(u) \cdot \mathbb{I}_{\omega_j \omega_i}(u) \quad \rightsquigarrow \quad \mathbb{I}_{\omega_k \omega_j \omega_i} \in \mathcal{O}_y$

Intégrales itérées (polylogarithmes)

$$\Pi^w : \mathbf{H}^{\otimes w} \longrightarrow \mathcal{O}_y$$

- $\underline{\omega} = \omega_{i_1} \otimes \cdots \otimes \omega_{i_w} \longmapsto \mathbb{I}_{\underline{\omega}} : z \mapsto \int_{\gamma^z} \omega_{i_1}(u) \cdot \mathbb{I}_{\omega_{i_2} \dots \omega_{i_w}}(u)$
- $\Pi : \left(\bigoplus_{w \geq 0} \mathbf{H}^{\otimes w}, \textcolor{red}{\square} \right) \longrightarrow \mathcal{O}_y$ morphisme injectif de \mathbb{C} -algèbres
- $\forall \underline{\omega} : \begin{array}{c} \mathbb{I}_{\underline{\omega}} \in \mathcal{O}_y \cap \tilde{\mathcal{O}}(\mathbf{Y}) \\ \text{monod. unipotente} \end{array} \longrightarrow \text{Symbole } \mathcal{S}(\mathbb{I}_{\underline{\omega}}) = \underline{\omega} \quad \checkmark$
- Ex : $\mathbf{Y} = \mathbb{P}^1 \setminus \Sigma$ avec $\Sigma = \{0, 1, \infty\}$

$$\mathbf{H} = \left\langle \frac{dz}{z}, \frac{dz}{1-z} \right\rangle = \mathbf{H}^0 \left(\mathbb{P}^1, \Omega_{\mathbb{P}^1}^1(\text{Log } \Sigma) \right)$$

$$\mathbf{Li}_n = \Pi^n \left(\left(\frac{dz}{z} \right)^{\otimes(n-1)} \otimes \left(\frac{dz}{1-z} \right) \right) \quad (\text{‘Polylogarithmes’})$$

Intégrales itérées (hyperlogarithmes)

- Ex : $\mathbf{Y} = \mathbb{P}^1 \setminus \Sigma$ avec $\Sigma = \left\{ \sigma^1, \dots, \sigma^{r-2}, \sigma^{r-1} = \infty \right\}$
$$\mathbf{H} = \left\langle \frac{dz}{z-\sigma^1}, \dots, \frac{dz}{z-\sigma^{r-2}} \right\rangle = \mathbf{H}^0\left(\mathbb{P}^1, \Omega_{\mathbb{P}^1}^1(\text{Log } \Sigma)\right)$$

$$\mathbf{II}^n\left(\left(\frac{dz}{z-\sigma^{i_1}}\right) \otimes \cdots \otimes \left(\frac{dz}{z-\sigma^{i_n}}\right)\right) \quad \text{“Hyperlogarithme”}$$
- Hyperlog antisymétrique complet de poids $r - 2$ sur $\mathbb{P}^1 \setminus \Sigma$:
$$\mathbf{AH}_{\Sigma}^{r-2} = \mathbf{II}^n\left(\mathbf{Asym}\left(\left(\frac{dz}{z-\sigma^1}\right) \otimes \cdots \otimes \left(\frac{dz}{z-\sigma^{r-2}}\right)\right)\right)$$
$$= \mathbf{II}^n\left(\frac{1}{(r-2)!} \sum_{\nu \in \mathfrak{S}_{r-2}} (-1)^{\nu} \left(\frac{dz}{z-\sigma^{\nu(1)}}\right) \otimes \cdots \otimes \left(\frac{dz}{z-\sigma^{\nu(r-2)}}\right)\right)$$
- Ex : $\mathbf{AH}_{\{0,1,\infty\}}^2 = \frac{1}{2} \mathbf{II}^2\left(\frac{dz}{z} \otimes \frac{dz}{(1-z)} - \frac{dz}{(1-z)} \otimes \frac{dz}{z}\right) = \mathbf{R}$

III Identité \mathbf{HLog}^{r-2} : preuve(s)

$$\left(\mathbf{HLog}^{r-2} \right) : \quad \sum_{\mathfrak{c} \in \mathcal{K}} \epsilon_{\mathfrak{c}} \mathbf{AH}_{\mathfrak{c}}^{r-2}(\phi_{\mathfrak{c}}) = 0 \quad \text{avec} \quad \mathbf{AH}_{\mathfrak{c}}^{r-2} = \mathbf{AH}_{\Sigma_{\mathfrak{c}}}^{r-2}$$

- $\phi_{\mathfrak{c}} : X_r \rightarrow \mathbb{P}^1 \supset \Sigma_{\mathfrak{c}} = \{ \sigma_{\mathfrak{c}}^i \}_{i=1}^{r-1} \quad \mathcal{H}_{\mathfrak{c}} = \mathbf{H}^0\left(\Omega_{\mathbb{P}^1}^1(\log \Sigma_{\mathfrak{c}})\right)$
- $\phi_{\mathfrak{c}}^*(\mathcal{H}_{\mathfrak{c}}) = \mathbf{H}_{\mathfrak{c}} \subset \mathbf{H}_{X_r} = \mathbf{H}^0\left(\Omega_{X_r}^1(\log L_r)\right)$
- $\mathbf{AH}_{\mathfrak{c}}^{r-2}(\phi_{\mathfrak{c}}) = \mathbf{II}\left(\left(\frac{d\phi_{\mathfrak{c}}}{\phi_{\mathfrak{c}} - \sigma_{\mathfrak{c}}^1}\right) \wedge \cdots \wedge \left(\frac{d\phi_{\mathfrak{c}}}{\phi_{\mathfrak{c}} - \sigma_{\mathfrak{c}}^{r-2}}\right)\right) \in \mathbf{II}^{r-2}(\wedge^{r-2} \mathbf{H}_{\mathfrak{c}})$
 $\downarrow \quad \mathcal{S} \text{ (symbole)}$
- $\Omega_{\mathfrak{c}}^{r-2} = \left(\frac{d\phi_{\mathfrak{c}}}{\phi_{\mathfrak{c}} - \sigma_{\mathfrak{c}}^1}\right) \wedge \cdots \wedge \left(\frac{d\phi_{\mathfrak{c}}}{\phi_{\mathfrak{c}} - \sigma_{\mathfrak{c}}^{r-2}}\right) \in \wedge^{r-2} \mathbf{H}_{\mathfrak{c}} \subset \wedge^{r-2} \mathbf{H}_{X_r}$

$$\left(\mathbf{HLog}^{r-2} \right) \iff \sum_{\mathfrak{c}} \epsilon_{\mathfrak{c}} \Omega_{\mathfrak{c}}^{r-2} = 0 \quad \text{in} \quad \wedge^{r-2} \mathbf{H}_{X_r}$$

Preuves de : $\text{hlog}^{r-2} = \sum_{\mathfrak{c}} \epsilon_{\mathfrak{c}} \Omega_{\mathfrak{c}}^{r-2} = 0$ dans $\wedge^{r-2} \mathbf{H}_{X_r}$

- $\mathbf{H}_{X_r} = \mathbf{H}^0\left(\Omega_{X_r}^1(\text{Log } \mathcal{L}_r)\right) \xrightarrow{\oplus_{\ell} \text{Res}_{\ell}} \mathbb{C}^{\mathcal{L}_r}$ injective

$$\Omega_{\mathfrak{c}}^{r-2} \in \wedge^{r-2} \mathbf{H}_{X_r} \hookrightarrow \wedge^{r-2} \mathbb{C}^{\mathcal{L}_r} \curvearrowleft \mathcal{W}(E_r)$$

[P1] On décompose hlog^{r-2} dans une base naturelle de $\wedge^{r-2} \mathbb{C}^{\mathcal{L}_r}$

[P2] $\text{sign}_r \hookrightarrow \oplus_{\mathfrak{c}} (\mathbf{H}_{\mathfrak{c}})^{\wedge(r-2)} \rightarrow \wedge^{r-2} \mathbb{C}^{\mathcal{L}_r} \quad \langle \text{sign}_r, \wedge^{r-2} \mathbb{C}^{\mathcal{L}_r} \rangle = 0$

$$1 \mapsto (\Omega_{\mathfrak{c}}^{r-2})_{\mathfrak{c}} \mapsto \sum_{\mathfrak{c}} \Omega_{\mathfrak{c}}^{r-2} \quad (\text{GAP3})$$

[P3] Descrip^o explicite des droites $\longrightarrow \mathbb{Z}^{\mathcal{L}_r} \simeq \mathbb{Z}^{|\mathcal{L}_r|}$

+ algèbre linéaire sur \mathbb{Z} $\longrightarrow \sum \epsilon_{\mathfrak{c}} \Omega_{\mathfrak{c}}^{r-2} = 0$ (Maple)

[P4?] Preuve analytique inductive

IV Comparaison entre \mathbf{HLog}^2 et \mathbf{HLog}^3

- **\mathbf{HLog}^2** $\mathbf{R}(x) - \mathbf{R}(y) - \mathbf{R}\left(\frac{x}{y}\right) - \mathbf{R}\left(\frac{1-y}{1-x}\right) + \mathbf{R}\left(\frac{x(1-y)}{y(1-x)}\right) = 0$
- **\mathbf{HLog}^3** $\sum_{i=1}^{10} \epsilon_i \mathbf{AH}_{\Sigma_i}^3(\phi_i) = 0$ avec pour $\Sigma = \{b_1, \dots, b_4\}$

$$\mathbf{AH}_{\Sigma}^3(x) = \frac{1}{3} \sum_{k=1}^3 (-1)^{k-1} \mathbf{Log} \left(1 - \frac{x}{b_k} \right) \mathbf{R}_{\Sigma \setminus \{b_k\}}(x)$$

$$\mathbf{AH}_1^3(x) + \mathbf{AH}_2^3\left(\frac{1}{y}\right) + \mathbf{AH}_3^3\left(\frac{y}{x}\right) + \mathbf{AH}_4^3\left(\frac{x-y}{x-1}\right) + \mathbf{AH}_5^3\left(\frac{b(a-x)}{ay-bx}\right)$$

$$+ \mathbf{AH}_6^3\left(\frac{P(x,y)}{(x-1)(y-b)}\right) + \mathbf{AH}_7^3\left(\frac{(x-y)(y-b)}{y P(x,y)}\right) + \mathbf{AH}_8^3\left(\frac{x P(x,y)}{(x-y)(x-a)}\right)$$

$$+ \mathbf{AH}_9^3\left(\frac{y(x-b)}{x(y-a)}\right) + \mathbf{AH}_{10}^3\left(\frac{a(b-x)}{by-ax}\right) = 0$$

Tissus de del Pezzo $\mathcal{W}_{\mathbf{dP}_5}$ et $\mathcal{W}_{\mathbf{dP}_4}$

- $(\mathcal{Ab}) \quad \mathsf{R}(\phi_1) - \mathsf{R}(\phi_2) - \mathsf{R}(\phi_3) - \mathsf{R}(\phi_4) + \mathsf{R}(\phi_5) = 0$
- Pour chaque i : \mathcal{F}_{ϕ_i} = feuilletage par les $\{\phi_i = \lambda\}$, $\lambda \in \mathbb{P}^1$
- **Tissu :** $\mathcal{W}_{\mathbf{dP}_5} = (\mathcal{F}_{\phi_1}, \dots, \mathcal{F}_{\phi_5})$: 5-uplet de feuilletages
- $\mathcal{W}_{\mathbf{dP}_5}$ = objet géométrique $\rightsquigarrow (\mathbf{HLog}^2) = (\mathcal{Ab})$
- $\mathcal{W}_{\mathbf{dP}_4} = (\mathcal{F}_{\phi_k})_{\substack{\phi_k : \mathbf{dP}_4 \rightarrow \mathbb{P}^1 \\ \text{fib}^\circ \text{ en coniques}}}$ $\rightsquigarrow (\mathbf{HLog}^3)$

Comparaison des tissus $\mathcal{W}_{\text{dP}_5}$ et $\mathcal{W}_{\text{dP}_4}$

$\mathcal{W}_{\text{dP}_5}$ et $\mathcal{W}_{\text{dP}_4}$ satisfont des propriétés remarquables similaires :

- ▶ formés par les pinceaux de coniques sur une del Pezzo
- ▶ non-linéarisables
- ▶ de rang maximal, toutes leurs RA hyperlogarithmiques
- ▶ on a $\text{RA}(\mathcal{W}_{\text{dP}_5}) = \text{LogRA}^1(\mathcal{W}_{\text{dP}_5}) \oplus \langle \mathbf{HLog}^2 \rangle$
 $\text{RA}(\mathcal{W}_{\text{dP}_4}) = \text{LogRA}^1(\mathcal{W}_{\text{dP}_4}) \oplus \mathbf{HLogRA}^2(\mathcal{W}_{\text{dP}_4}) \oplus \langle \mathbf{HLog}^3 \rangle$
(décompositions en \mathbf{W}_r -representations irréductibles)
- ▶ caractérisés par les matroïde de leurs sous-3-tissus hexagonaux
- ▶ sont “canoniquement algébrisables” (!)
- ▶ sont des “tissus modulaires”
- ▶ sont des “tissus cluster” (“amassés”)
- ▶ s’obtiennent géométriquement à la **[Gelfand-MacPherson]**

Comparaison des tissus $\mathcal{W}_{\text{dP}_5}$ et $\mathcal{W}_{\text{dP}_4}$

$\mathcal{W}_{\text{dP}_5}$ et $\mathcal{W}_{\text{dP}_4}$ satisfont des propriétés remarquables similaires :

- ▶ formés par les pinceaux de coniques sur une del Pezzo
- ▶ non-linéarisables
- ▶ de rang maximal, toutes leurs RA hyperlogarithmiques
- ▶ on a $\text{RA}(\mathcal{W}_{\text{dP}_5}) = \text{LogRA}^1(\mathcal{W}_{\text{dP}_5}) \oplus \langle \mathbf{HLog}^2 \rangle$
 $\text{RA}(\mathcal{W}_{\text{dP}_4}) = \text{LogRA}^1(\mathcal{W}_{\text{dP}_4}) \oplus \mathbf{HLogRA}^2(\mathcal{W}_{\text{dP}_4}) \oplus \langle \mathbf{HLog}^3 \rangle$
(décompositions en \mathbf{W}_r -representations irréductibles)
- ▶ caractérisés par les matroïde de leurs sous-3-tissus hexagonaux
- ▶ sont “canoniquement algébrisables” (!)
- ▶ sont des “tissus modulaires”
- ▶ sont des “tissus cluster” (“amassés”)
- ▶ s’obtiennent géométriquement à la [Gelfand-MacPherson]

Tissus de Gelfand-MacPherson

\mathbf{G} = groupe de Lie simple, type Dynkin D , rang r

- $\mathbf{G} \supset \mathbf{P} \supset \mathbf{H}$: $\mathbf{H} \simeq (\mathbb{C}^*)^r$ = sous-tore de Cartan
 \mathbf{P} = sous-groupe parabolique standard (maximal)

- $X = \mathbf{G}/\mathbf{P}$: variété algébrique projective \mathbf{G} -homogène

$\mathbf{V}_\rho = \text{rep}^\circ$ de \mathbf{G} ($\rho : \mathbf{G} \hookrightarrow \mathbf{GL}(V_\rho)$)

- $X \subset \mathbb{P}(V_\rho)$: $X = \mathbf{G} \cdot v_\rho$ avec v_ρ de plus haut poids $\omega = \omega_P$
 $\mathbf{P} = \text{Stab}_{\mathbf{G}}(v_\rho)$: stabilisateur de v_ρ dans \mathbf{G}

- $\mathfrak{W}_\rho = \{\text{poids de } \rho\} \subset \mathfrak{h}_\mathbb{R}^* \simeq \mathbb{R}^r$ ($\mathfrak{h} = \text{Lie}(\mathbf{H})$)

- $X \ni x = \left[\sum_{w \in \mathfrak{W}} p^w(x) v_w \right] \in \mathbb{P}(V_\rho)$ **($p^w(x)$)_w “coordonnées de Plücker généralisées”**

- **“Application moment”** : $\mu = \mu_{D,\rho} : X \longrightarrow \mathfrak{h}_\mathbb{R}^*$, $x \longmapsto \frac{\sum_w |p^w(x)|^2 w}{\sum_w |p^w(x)|^2}$

Tissus de Gelfand-MacPherson

- **Application moment :** $\mu : \mathbf{X} \longrightarrow \mathfrak{h}_{\mathbb{R}}^*$, $x \longmapsto \frac{\sum_w |p^w(x)|^2 w}{\sum_w |p^w(x)|^2}$
- **Polytope moment :** $\mu(\mathbf{X}) = \Delta = \Delta_{D,\rho} = \text{Conv}(\mathfrak{W}_\rho) \subset \mathfrak{h}_{\mathbb{R}}^*$
- On note $H_+ = H(\mathbb{R}_{>0}) \simeq (\mathbb{R}_{>0})^r$

Thm [Atiyah, Guillemin-Sternberg, Gelfand-Serganova]

1. Pour tout $x \in \mathbf{X}$:
 - $\Delta_x = \mu(\overline{H \cdot x})$ est un \mathfrak{W}_ρ -sous-polytope de Δ
 - μ induit un isom C^ω de variétés à coins $\overline{H_+ \cdot x} \simeq \Delta_x$
2. Pour x générique, i.e. $x \in \mathbf{X}^\circ = \mu^{-1}(\mathring{\Delta})$, on a $\Delta_x = \Delta_{D,\rho}$

Tissus de Gelfand-MacPherson

- F face de Δ : $\textcolor{blue}{X}_F = \mu^{-1}(F) \subset X$

Prop : 1. $X_F = G_F/P_F$ avec (G_F, P_F) de type (D_F, ω_F)

et $F \simeq \Delta_{D_F, \omega_F}$

2. On a $V_\rho = V_F \oplus V^F$ comme G_F -rep $^\circ$ \rightarrow Project $^\circ$ linéaire
 $\Pi_F : V_\rho \rightarrow V_F$
 $X_F = X \cap \mathbb{P}(V_F) = \Pi_F(X) \subset \mathbb{P}(V_F)$

3. $\Pi_F(X^\circ) = X_F^\circ$ et $\Pi_F : X^\circ \longrightarrow X_F^\circ$ est une fibration localem^t
triviale en espaces projectifs à poids

4. H -torseur $\nu_H : X^\circ \longrightarrow \textcolor{blue}{Y}^\circ = X^\circ//H$ $\left(Y^\circ \subset Y = X^{ss}//H \right)$

5. $\Pi_F : X^\circ \longrightarrow X_F^\circ$ est (H, H_F) -équivariante $\left(H \twoheadrightarrow H_F \right)$

Tissus de Gelfand-MacPherson

5. $\mathbb{P}(\mathbf{V}_\rho) \supset \mathbf{X}^\circ \xrightarrow{\Pi_F} \mathbf{X}_F^\circ \subset \mathbb{P}(\mathbf{V}_F)$ est $(\mathbf{H}, \mathbf{H}_F)$ -équivariante
6. $\exists \pi_F : \mathcal{Y}^\circ \rightarrow \mathcal{Y}_F^\circ = \mathbf{X}_F^\circ / \mathbf{H}_F$ tel que le diagramme

$$\begin{array}{ccc} \mathbf{X}^\circ & \xrightarrow{\Pi_F} & \mathbf{X}_F^\circ \\ \nu_{\mathbf{H}} \downarrow & & \downarrow \nu_{\mathbf{H}_F} \\ \mathcal{Y}^\circ & \xrightarrow{\pi_F} & \mathcal{Y}_F^\circ \end{array} \quad \text{soit commutatif}$$

- Def^o : Tissus de Gelfand-MacPherson

$$\mathcal{W}_{\mathbf{X}}^{GM} = \mathcal{W}\left(\Pi_F \mid F \text{ face de codim 1 de } \Delta \right) \xleftarrow{\quad} \mathbf{H}\text{-équivariant}$$

$$\mathcal{W}_{\mathcal{Y}}^{GM} = \mathcal{W}\left(\pi_F \mid F \text{ face de codim 1 de } \Delta \right) = (\mathcal{W}_{\mathbf{X}}^{GM}) / \mathbf{H}$$

Tissus de Gelfand-MacPherson : $G_k(\mathbb{C}^N)$

- $G_k(\mathbb{C}^N) \subset \mathbb{P}(\wedge^k \mathbb{C}^N)$ $(G = \mathbf{SL}(\mathbb{C}^N), D = A_{N-1}, \text{etc})$
- $\mu : G_k(\mathbb{C}^N) \longrightarrow \Delta_k^N = \left\{ (t_i)_{i=1}^N \mid \begin{array}{l} 0 \leq t_i \leq 1 \\ \sum_{i=1}^N t_i = k \end{array} \right\}$ **hypersimplexe**
- Faces de Δ_k^N $= \left\{ \begin{array}{l} \Delta_k^N \cap \{t_i = 0\} = \Delta_k^{N-1} \xleftarrow{\sim} G_k(\mathbb{C}^{N-1}) \\ \text{de codim 1} \quad \Delta_k^N \cap \{t_i = 1\} \simeq \Delta_{k-1}^{N-1} \xleftarrow{\sim} G_{k-1}(\mathbb{C}^{N-1}) \end{array} \right.$
- Pour chaque $i = 1, \dots, N$, il y a deux “applications faces” :

$$G_{k-1}^\circ\left(\mathbb{C}_{\{x_i=0\}}^{N-1}\right) \xleftarrow{\Pi_{\{t_i=1\}}} G_k^\circ(\mathbb{C}^N) \xrightarrow{\Pi_{\{t_i=0\}}} G_k^\circ\left(\mathbb{C}^N/\langle e_i \rangle\right)$$

Tissus de Gelfand-MacPherson : $G_k(\mathbb{C}^N)$

- Pour chaque $i = 1, \dots, N$, il y a deux “applications faces” :

$$\begin{array}{ccccc}
 G_{k-1}^\circ\left(\mathbb{C}^{N-1}_{\{x_i=0\}}\right) & \xleftarrow{\Pi_{\{t_i=0\}}} & G_k^\circ(\mathbb{C}^N) & \xrightarrow{\Pi_{\{t_i=1\}}} & G_k^\circ\left(\mathbb{C}^N/\langle e_i \rangle\right) \\
 \downarrow \nu_{i,0} & & \downarrow \nu & & \downarrow \nu_{i,1} \\
 \mathbf{Conf}_{N-1}^\circ(\mathbb{P}^{k-2}) & \xleftarrow{\pi_{i,0}} & \mathbf{Conf}_N^\circ(\mathbb{P}^{k-1}) & \xrightarrow{\pi_{i,1}} & \mathbf{Conf}_{N-1}^\circ(\mathbb{P}^{k-1}) \\
 \left[\mathbf{Proj}_{p_i}(p_k) \right]_{k \neq i} & \longleftrightarrow & [p_1, \dots, p_N] & \longmapsto & [p_1, \dots, \hat{p}_i, \dots, p_N]
 \end{array}$$

- Tissu GM :** $\mathcal{W}_{\mathbf{Conf}_N(\mathbb{P}^k)}^{GM} = \mathcal{W}\left(\begin{matrix} N \text{ applications d'oubli d'un point} \\ N \text{ applications de proj}^\circ \text{ d'un point} \end{matrix} \right)$

- $k = 2$:** $\mathbf{Conf}_N^\circ(\mathbb{P}^1) = \mathcal{M}_{0,N}$ $\mathcal{W}_{\mathcal{M}_{0,N}}^{GM} = \mathcal{W}\left(\mathcal{M}_{0,N} \xrightarrow{f_i} \mathcal{M}_{0,N-1}\right)$

- $N = 5$:** $\overline{\mathcal{M}}_{0,5} \simeq \mathbf{dP}_5 = X_4$ $\mathcal{W}_{\mathcal{M}_{0,5}}^{GM} = \mathcal{W}_{\mathbf{dP}_5} \simeq \mathcal{B} \quad \longleftarrow (\mathcal{A}b)$

Construction de $(\mathcal{A}b)$ par Gelfand et MacPherson

$$\begin{array}{ccc}
 & \xrightarrow{a_i} & \\
 \textcolor{blue}{G}_2^o(\mathbb{R}^5) & \xrightarrow{\textcolor{red}{F}_i} & \textcolor{blue}{G}_2^o\left(\mathbb{R}^5/\langle \textcolor{red}{e}_i \rangle\right) \\
 \downarrow \nu = \nu_4 & & \downarrow \nu_i = \nu_3 \\
 \mathcal{M}_{0,5}(\mathbb{R}) & \xrightarrow{\textcolor{red}{f}_i} & \mathcal{M}_{0,4}(\mathbb{R}) \simeq \mathbb{R} \setminus \{0, 1\}
 \end{array}$$

\mathbf{P}_1 : 1ère classe Pontryagin
 $\mathbf{H}^4(\mathbf{G}_2(\mathbb{R}^5)) \ni \mathbf{P}_1 = [\textcolor{green}{\Omega}]$
 avec $\textcolor{green}{\Omega} \in \Omega^4(\mathbf{G}_2(\mathbb{R}^5))^{\mathbf{SO}_5(\mathbb{R})}$

- \int sur les fibres de la 4-forme $\textcolor{green}{\Omega}$ \longrightarrow
 - $\omega_{0,5} = \nu_*(\textcolor{green}{\Omega}) \in \Omega^0(\mathcal{M}_{0,5}(\mathbb{R}))$
 - $\omega_{0,4,i} = (\nu_i)_*(\textcolor{green}{\Omega}) \in \Omega^1(\mathcal{M}_{0,4}(\mathbb{R}))$

- En $\nu(\xi) : \omega_{0,5} = \int_{\overline{H \cdot \xi}} \textcolor{green}{\Omega} + \overline{H \cdot \xi} \simeq \Delta_2^5$ via $\mathbf{G}_2(\mathbb{R}^5) \xrightarrow{\mu} \Delta_2^5$

$$\partial[\Delta_2^5] = \sum_{i=1}^5 (-1)^i a_{i*}([\Delta_{2,i}^4])$$

- Stokes pour \int sur les fibres :

$$d \underbrace{\omega_{0,5}}_{=0} = \sum_{i=1}^5 (-1)^i \textcolor{red}{f}_i^*(\underbrace{\omega_{0,4}}_{= d\mathbf{R}}) \implies 0 = \sum_{i=1}^5 (-1)^i \textcolor{red}{f}_i^*(d\mathbf{R}) \quad (\mathcal{Ab})$$

Variétés de Cox

- Comment obtenir $\mathbf{G}_2(\mathbb{C}^5)$ à partir de $\mathbf{X}_4 = \mathbf{dP}_5 = \overline{\mathcal{M}}_{0,5}$?
C'est sa variété de Cox ! 

- \mathbf{S} = variété projective (lisse) telle que $\mathbf{Pic}_{\mathbb{Z}}(\mathbf{S}) = \bigoplus_{i=0}^r \mathbb{Z} \ell_i$
 $(\mathbf{S} = \mathbf{Bl}_{p_1, \dots, p_r}(\mathbb{P}^2) \quad \ell_0 = \mathbf{h} = [H] \quad \text{et} \quad \ell_i = [E_i] \quad i = 1, \dots, r)$

- Def° : Anneau de Cox

$$\mathbf{Cox}(\mathbf{S}) = \bigoplus_{n_0, \dots, n_r \in \mathbb{Z}} \mathbf{H}^0\left(\mathbf{S}, \mathcal{O}_{\mathbf{S}}(n_0 H + n_1 E_1 + \dots + n_r E_r)\right)$$

- Faits : – $\mathbf{Cox}(\mathbb{P}^n) = \mathbb{C}[x_0, \dots, x_n]$ (polynômes homogènes)
– $\mathbf{Cox}(\mathbf{S}) = \mathbb{C}[y_1, \dots, y_m] \iff \mathbf{S}$ est torique
– $\mathbf{Cox}(\mathbf{S})$ de type fini $\stackrel{\parallel}{=} \mathbf{S}$ “Mori Dream Space” (MMP ✓)

$$\mathbf{Cox}(\mathbf{S}) = \frac{\mathbb{C}[\Gamma_1, \dots, \Gamma_m]}{\mathcal{J}_{\mathbf{S}}} \longrightarrow \mathbf{A}(\mathbf{S}) = \mathrm{Spec}\left(\mathbf{Cox}(\mathbf{S})\right) \subset \mathbb{A}_{\Gamma}^m$$

Variétés de Cox des surfaces de del Pezzo

- Surface $S \supset \ell$ avec $\ell \simeq \mathbb{P}^1$ et $\ell^2 = -1$ $\implies \sigma_\ell \in H^0(\mathcal{O}_{X_r}(\ell)) \setminus \{0\}$ générateur de $\mathbf{Cox}(S)$
- Dans $\mathbf{Bl}_{p_1, \dots, p_9}(\mathbb{P}^2)$: $\exists \infty$ de (-1) -droites $\implies \mathbf{Cox}(\mathbf{Bl}_{p_1, \dots, p_9}(\mathbb{P}^2))$ pas de type fini

Thm [Batyrev, Popov] Pour $r = 3, \dots, 8$, on a

$$\mathbf{Cox}(\mathbf{dP}_d = X_r = \mathbf{Bl}_{p_1, \dots, p_r}(\mathbb{P}^2)) = \mathbb{C}[\sigma_\ell \mid \ell \in \mathcal{L}_r] / \mathcal{J}_{\mathbf{dP}_d}$$

- $\mathbf{T}_{\text{NS}} = \text{Hom}_{\mathbb{Z}}(\mathbf{Pic}_{\mathbb{Z}}(X_r), \mathbb{C}^*) \circlearrowleft \mathbf{A}(X_r) \rightsquigarrow X_r = \mathbf{A}(X_r) // \mathbf{T}_{\text{NS}}$
- $\mathbf{A}(X_r) \hookrightarrow \mathbb{C}^{\mathcal{L}_r} + \mathbb{Z}\text{-graduation sur } \mathbf{Cox}(X_r)$ induite par $(-K, \cdot)$

$$\begin{aligned} \longrightarrow \mathbf{P}(X_r) &= \underbrace{\text{Proj}(\mathbf{Cox}(X_r))}_{=(\mathbf{A}(X_r) - \{0\})/\mathbb{C}^*} \subset \mathbb{P}(\mathbb{C}^{\mathcal{L}_r}) \circlearrowleft \mathbf{T}_{\text{NS}} = \mathbf{T}_{\text{NS}} / \mathbb{C}^* \end{aligned}$$

Variétés de Cox des surfaces de del Pezzo

- $\mathbf{P}(\mathbf{X}_r) = \text{Proj}\left(\mathbf{Cox}(\mathbf{X}_r)\right) \subset \mathbb{P}(\mathbb{C}^{\mathcal{L}_r}) \circlearrowleft \begin{array}{l} \mathcal{T}_{\text{NS}} = \mathbf{T}_{\text{NS}}/\mathbb{C}^* \\ \mathbf{W}(E_r) \end{array} \right\} \subset \mathbf{G}(E_r)$

Thm [Batyrev, Popov, Derenthal, Srganova-Skorobogatov]

1. Il y a un plongement $(\mathcal{T}_{\text{NS}}, \mathbf{H}_r)$ -équivariant :

$$\mathbf{P}(\mathbf{X}_r) \hookrightarrow \underbrace{\mathcal{X}_r = \mathbf{G}_r/\mathbf{P}_r \subset \mathbb{P}(\mathbb{C}^{\mathcal{L}_r})}_{\text{espace et rep}^\circ \text{ minuscules}}$$

2. Il y a un plongement $f_{SS} : \mathbf{X}_r \hookrightarrow \mathcal{Y}_r = \mathcal{X}_r // \mathbf{H}_r$ tel que le diagramme suivant soit commutatif :

$$\begin{array}{ccc} \mathbf{P}(\mathbf{X}_r) & \xrightarrow{\quad} & \mathcal{X}_r \subset \mathbb{P}(\mathbb{C}^{\mathcal{L}_r}) \\ \downarrow & & \downarrow \\ \mathbf{X}_r & \xleftarrow{f_{SS}} & \mathcal{Y}_r \end{array}$$

- $r = 4$, $E_r = A_4$: $\mathbf{P}(\mathbf{X}_4) = \mathbf{G}_2(\mathbb{C}^5) \hookrightarrow \mathbb{P}(\mathbb{C}^{\mathcal{L}_4}) \simeq \mathbb{P}^9$ (Plücker)

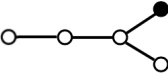
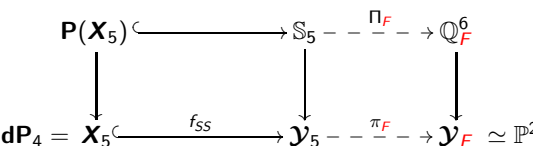
$$\begin{array}{ccccc}
\mathbf{P}(\mathbf{X}_4) & \xlongequal{\quad} & \mathbf{G}_2(\mathbb{C}^5) & \dashrightarrow & \mathbf{G}_2(\mathbb{C}^4_{\textcolor{red}{i}}) \\
\downarrow & & \downarrow & & \downarrow \\
\mathbf{d}\mathbf{P}_5 = \mathbf{X}_4 & \xleftarrow[\sim]{f_{SS}} & \mathcal{Y}_4 = \overline{\mathcal{M}}_{0,5} & \dashrightarrow & \overline{\mathcal{M}}_{0,4} \simeq \mathbb{P}^1 \\
& & & \dashrightarrow & \\
& & \textcolor{blue}{\longrightarrow} \mathcal{W}_{\mathbf{d}\mathbf{P}_5} = f_{SS}^*(\mathcal{W}_{\mathcal{Y}_4}^{GM} = \mathcal{W}_{\mathcal{M}_{0,5}}) & &
\end{array}$$

- Pour $r \in \{4, \dots, 7\}$ ($r = 8$?), on a :

$$\begin{array}{ccccc}
\mathbf{P}(\mathbf{X}_r) & \xleftarrow{\quad} & \mathbf{G}_r/\mathbf{P}_r & \dashrightarrow & \mathcal{X}_{\textcolor{red}{F}} \\
\downarrow & \nearrow F_{SS} & \downarrow & & \downarrow \\
\mathbf{d}\mathbf{P}_{9-r} = \mathbf{X}_r & \xleftarrow{f_{SS}} & \mathcal{Y}_r & \dashrightarrow & \mathcal{Y}_{\textcolor{red}{F}}
\end{array}$$

Thm : On a $\mathcal{W}_{\mathbf{d}\mathbf{P}_{9-r}} = f_{SS}^*(\mathcal{W}_{\mathcal{Y}_r}^{GM}) = F_{SS}^*(\mathcal{W}_{\mathbf{G}_r/\mathbf{P}_r}^{GM})$

Exemple : $\mathcal{W}_{\mathbf{dP}_4} = \mathbf{X}_5$

- Pour $r = 5$: type D_5  $\mathbf{G}_5 = \text{Spin}_{10}(\mathbb{C})$
 $\mathbf{G}_5/\mathbf{P}_5 = \mathbb{S}_5 \subset \mathbb{P}(\mathbf{S}_5^+)$
 - $\mathbb{S}_5 \simeq \mathbf{OG}_5^+(\mathbb{C}^{10})$ = “*Spinor 10-fold*”
 - $\mathbf{S}_5^+ \simeq \mathbb{C}^{16}$ = “*half-spin representation*”
- $\mu : \mathbb{S}_5 \rightarrow \Delta_{D_5} = \frac{1}{2}(\epsilon_1, \dots, \epsilon_5) \in \frac{1}{2}\{\pm 1\}^5$ avec $\epsilon_1 \cdots \epsilon_5 = 1$
- Facettes : $\Delta_{D_5, i}^\varepsilon = \Delta_{D_5} \cap \{ t_i = \frac{\varepsilon}{2} \} \simeq \Delta_{D_4, \mathbb{Q}}^6$ $\left(\begin{array}{c} i = 1, \dots, 5 \\ \varepsilon \in \{\pm 1\} \end{array} \right)$
- Diagramme : 

Exemple : $\mathcal{W}_{\mathbf{dP}_4} = X_5$

- Diagramme :

$$\begin{array}{ccccc}
 \mathbb{P}(X_5) & \xrightarrow{\quad} & \mathbb{S}_5 & \xrightarrow{\Pi_F} & \mathbb{Q}_F^6 \\
 \downarrow & & \downarrow & & \downarrow \\
 \mathbf{dP}_4 = X_5 & \xleftarrow{f_{SS}} & \mathcal{Y}_5 & \dashrightarrow & \mathcal{Y}_F \simeq \mathbb{P}^2
 \end{array}$$

- Tissu de Gelfand-MacPherson de \mathbb{S}_5 :

$$\mathcal{W}_{\mathcal{Y}_5}^{GM} = \mathcal{W}\left(\pi_i^\varepsilon : \mathcal{Y}_5 \dashrightarrow \mathbb{P}^2\right) = \begin{matrix} \text{10-tissu de codim 2} \\ \text{sur } \mathcal{Y}_5 \simeq_{birat} \mathbb{C}^5 \end{matrix}$$

Thm : Les tissus $\mathcal{W}_{\mathbf{dP}_5} = f_{SS}^*\left(\mathcal{W}_{\mathcal{Y}_4}^{GM}\right)$ et $\mathcal{W}_{\mathcal{Y}_5}^{GM}$ sont *encore plus similaires* que ne le sont $\mathcal{W}_{\mathbf{dP}_5}$ et $\mathcal{W}_{\mathbf{dP}_4}$!

- $\left[\mathcal{W}_{\mathcal{Y}_4}^{GM} \rightarrow \mathcal{W}_{\mathcal{Y}_5}^{GM} \rightarrow \mathcal{W}_{\mathcal{Y}_6}^{GM} \rightarrow \dots\right]$ “mieux que” $\left[\mathcal{W}_{\mathbf{dP}_5} \rightarrow \mathcal{W}_{\mathbf{dP}_4} \rightarrow \mathcal{W}_{\mathbf{dP}_3} \rightarrow \dots\right]$

Questions

- $\mathbf{HLog}^{r-2} \in AR(\mathcal{W}_{\mathbf{dP}_{9-r}})$ peut-elle être ? **Oui !**
obtenue à partir d'une RA \mathcal{A}_r de $\mathcal{W}_{\mathcal{Y}_r}^{GM}$
 - **Question :** Peut-on construire géométriquement à la Gelfand et MacPherson la relation abélienne \mathcal{A}_r de $\mathcal{W}_{\mathcal{Y}_r}^{GM}$ à partir d'une classe caractéristique sur (une forme réelle de) $\mathbf{G}_r/\mathbf{P}_r$?
 - **Géométrie (différentielle) projective des surfaces :**
Surface $S \subset \mathbb{P}^d$ "assez générique" ($d = 3, 4, 5$)
 - $d = 3$: [Moutard, Darboux - 1880] 27-tissu sur $S \subset \mathbb{P}^3$
 - $d = 4$: [Darboux ?] 10-tissu sur $S \subset \mathbb{P}^4$
 - $d = 5$: [C. Segre -1921] 5-tissu sur $S \subset \mathbb{P}^5$
- Plein de questions !

Beaucoup d'autres questions...

- Applications — $\mathbf{HLog}^1 = \left(\mathbf{Log}(x) - \mathbf{Log}(y) - \mathbf{Log}\left(\frac{x}{y}\right) = 0 \right)$ ✓
- $\mathbf{HLog}^2 = \left(\mathbf{R}(x) - \mathbf{R}(y) - \mathbf{R}\left(\frac{x}{y}\right) - \mathbf{R}\left(\frac{1-y}{1-x}\right) + \mathbf{R}\left(\frac{x(1-y)}{y(1-x)}\right) = 0 \right)$ ✓
- $\mathbf{HLog}^3 = \left(\sum_{i=1}^{10} \mathbf{AH}_i^3(U_i(x, y)) = 0 \right)$?
- Construction de \mathbf{HLog}^3 à la Gelfand-MacPherson ?
- Interprétation de \mathbf{HLog}^3 en termes du SC de \mathbf{dP}_4 ?
- Versions Unival. $\mathbf{HLog}_{\text{univ}}^3$? Quantique \mathbf{HLog}_q^3 ? Motivique $\mathbf{HLog}_{\text{mot}}^3$?
- Surfaces de del Pezzo singulières/réelles ?
- Blow-ups $\mathbf{Bl}_{p_1, \dots, p_r}(\mathbb{P}^2)$ avec $r \geq 9$: $\sum_{\mathfrak{c} \in \mathcal{K}} \mathbf{AH}_{\mathfrak{c}}^{r-2}(\varphi_{\mathfrak{c}}) = 0$?